

Mise en œuvre des recommandations de M. Keshe pour la technologie de l'unité MaGrav II s'agit de la révision approuvée de cette page, en plus d'être la plus récente. Cet article fait partie du KF Plasma Times août 2019

Publié le : août 2019 Figure 1.

Le nouveau MaGrav. Préface Depuis plusieurs mois maintenant, M. Keshe diffuse dans ses cours du jeudi matin une information importante qui m'a amené à réfléchir en profondeur sur ce qui pourrait être fait pour améliorer les performances des MaGravs de base proposés lors des ateliers d'initiation en France. Après avoir longuement étudié les cours, y compris les cours de base auxquels M. Keshe fait souvent référence, j'ai décidé d'appliquer tous les conseils proposés pour créer un nouveau MaGrav, la première évolution du MaGrav de base (Fig. 1).



Figure 2. Top view of a floor of the MaGrav unit.

Bien sûr, il ne s'agit pas d'effacer tout ce qui a été fait jusqu'à présent, mais de faire évoluer la technologie. La volonté de tout changer n'est pas d'actualité et mon passé professionnel de scientifique me rappelle une règle d'or : on ne change qu'un paramètre à la fois... Buts Plusieurs objectifs sont poursuivis par ce travail : (a) Pour mieux comprendre le fonctionnement de MaGrav, étant donné que M. Keshe a fourni de nombreuses informations à utiliser, (b) En tant que propriétaire de deux MaGrav de base et d'une formation stellaire à 4 réacteurs sphériques, il est nécessaire de faire des comparaisons de configuration et de mesurer - dans la mesure du possible - certains paramètres, (c) Avancer vers la technologie des disques et l'anti-gravité; le nouveau MaGrav proposé dans cet article fait partie d'une machine qui utilisera cette technologie de disque et devrait réduire considérablement la partie gravitationnelle. Durée de l'expérience Comme pour l'expérimentation agricole, les tests sur ce nouveau MaGrav sont en cours. Les premiers résultats sont présentés dans cet article. L'expérimentation se déroule sans aucun temps d'arrêt car des tests complémentaires (nécessitant une installation lourde) pour évaluer les performances du nouveau MaGrav seront réalisés prochainement et leurs résultats proposés d'ici fin septembre au plus tard. Figure 2.

Vue de dessus d'un étage de l'unité MaGrav. Traiter J'ai mis en œuvre les conseils de M. Keshe selon [1-4] : Les bobines "visibles" sont gravitationnelles et les bobines magnétiques sont logées dans les bobines gravitationnelles. **L'entrée du circuit MaGrav est en entrée gravitationnelle et la sortie est en magnétique.** « Le Nano coating des coils doit être fait

avec beaucoup de soin : nos coils sont donc Nano coatés avec le procédé à la soude, puis vieillis pendant plusieurs mois (selon les préconisations des cours de base). Il n'y a pas de trempage des coils dans le GaNS : les GaNS sont dans des tuyaux "tanks" logés dans ou entre les coils. La sphère solaire centrale de chaque étage est remplacée par un réservoir cylindrique, car M. Keshe a mentionné à plusieurs reprises (à juste titre) que la géométrie sphérique n'est importante que sur les machines tournantes afin de maintenir le GaNS au plan équatorial.

Dans notre unité, la boîte cylindrique remplit cette fonction. A noter que le mélange GaNS (50% CO₂, 25% CH₃ et 25% CuO) est renouvelé : on ne peut pas tout changer d'un coup, sinon vous n'aurez plus de résultats exploitables. D'autre part, ce caisson cylindrique permet de régler précisément la distance entre les différents étages. Dans les prochaines évolutions la boîte disparaîtra. La connexion avec l'âme n'existe pas fondamentalement dans le MaGrav de base. Le nouveau MaGrav intègre 9 tubes de cuivre Nano revêtus et imprégnés de ZnO GaNS pour avoir une connexion de l'âme avec l'unité. Les plaques de support de chaque étage sont en bois, très ajourées comme l'est le support de la formation en étoile, pour faciliter et améliorer la dynamique des flux de terrain. Plusieurs conceptions ont été étudiées et testées en résistance pour produire une pièce qui permet également, si assemblée avec application, d'obtenir des bobinages proches de la forme circulaire (Fig. 2), limitant ainsi les perturbations de flux et d'inductance. L'inductance est plus uniforme car le fil interne qui reliait les bobines entre elles est supprimé. Tous les GaNS utilisés sont purs et dessalés. Leur gestation a duré près de 6 mois, en appliquant les conseils de Sandor - un grand merci à lui. La figure 3

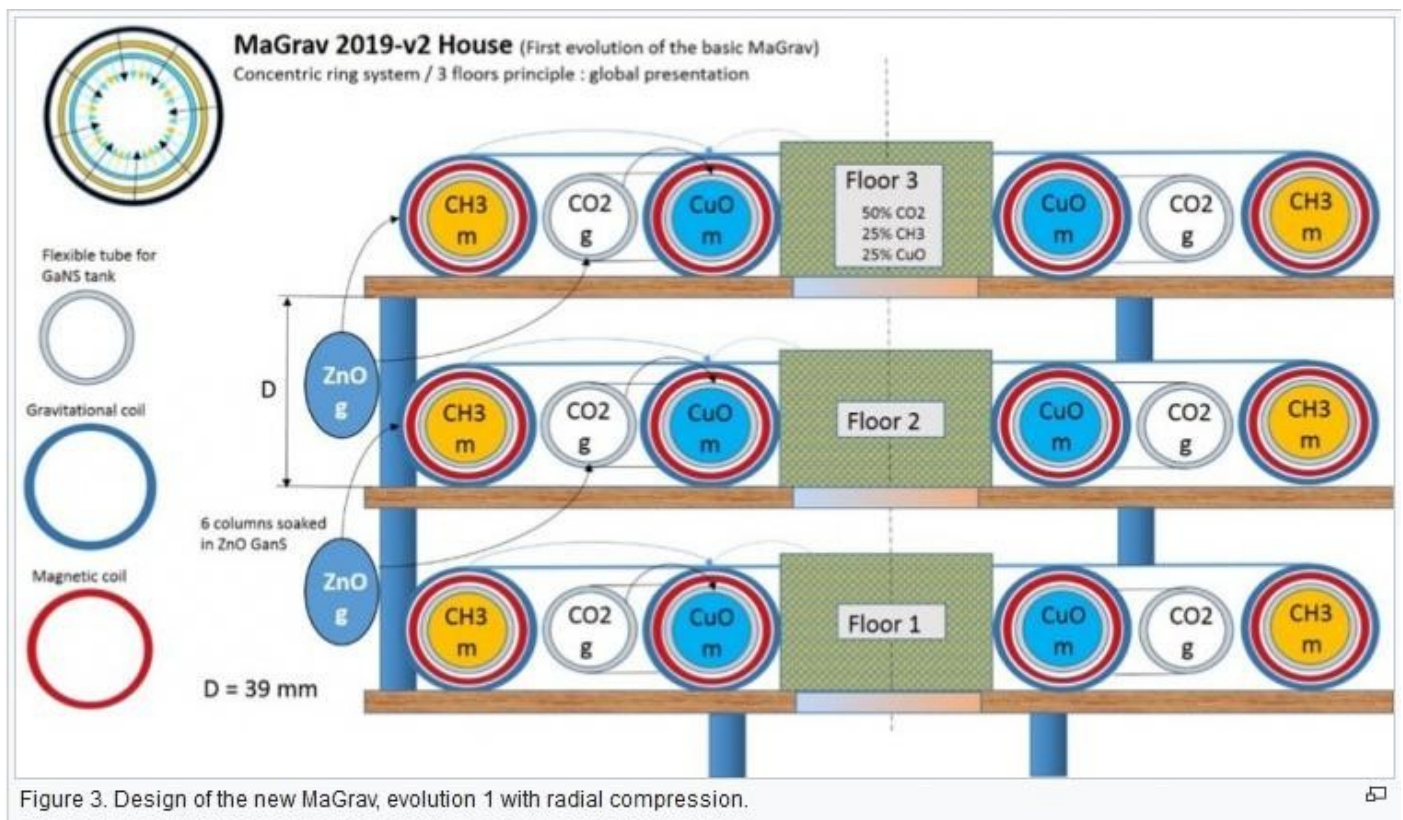


Figure 3. Design of the new MaGrav, evolution 1 with radial compression.

montre l'agencement de cette première évolution du MaGrav de base.

Après avoir effectué les deux étapes de démarrage (3 jours d'attente et 21 jours branchés non-stop au secteur et au réfrigérateur) j'ai connecté mon MaGrav à la formation en étoile pour alimenter les 4 moteurs brushless. J'ai connecté des contrôleurs de précision à l'entrée et à la sortie du MaGrav (Fig. 4).

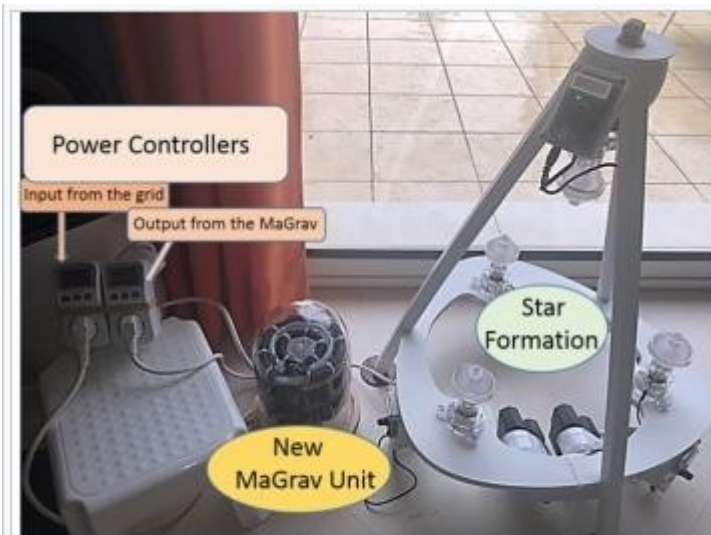


Figure 4. Test configuration with power controllers.

La sensibilité des dispositifs de contrôle et la faible puissance consommée par les 4 moteurs permettent de distinguer une éventuelle différence de consommation entre l'entrée et la sortie du nouveau MaGrav. Cette lacune, totalement inexploitable en physique quantique, permet néanmoins de détecter un mode de fonctionnement, un état de l'unité MaGrav. Dès le premier mois de fonctionnement, le nouveau MaGrav a réduit sa consommation d'énergie. Après deux mois d'utilisation, cet appareil a réduit notre consommation d'un niveau atteint par l'ancienne version après sept mois de connexion (Fig.5).

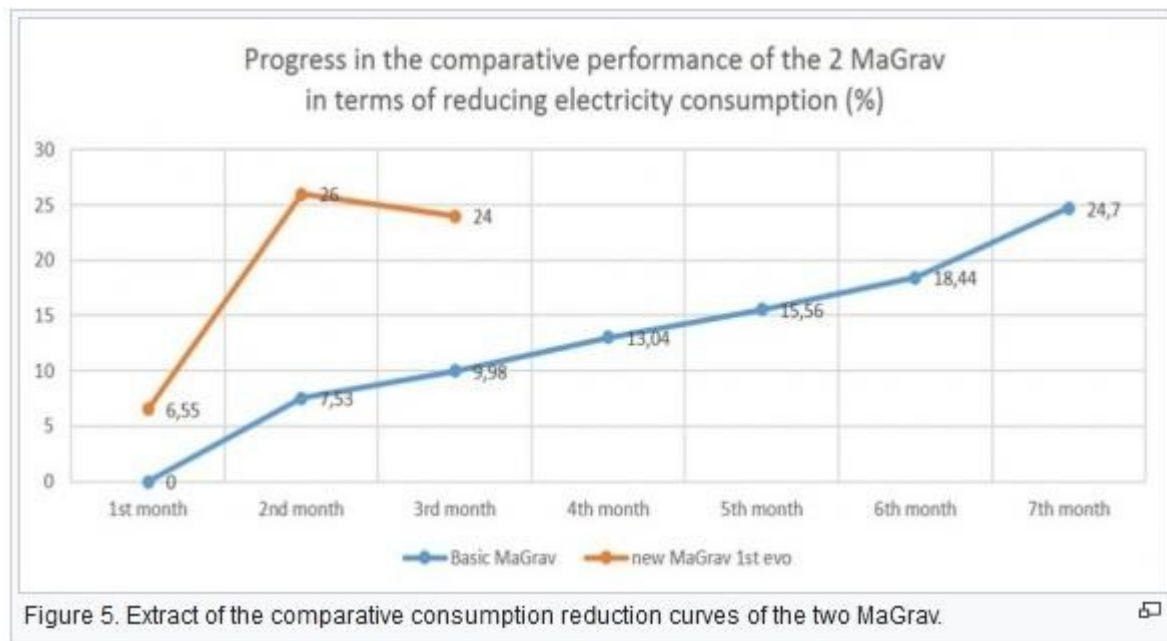
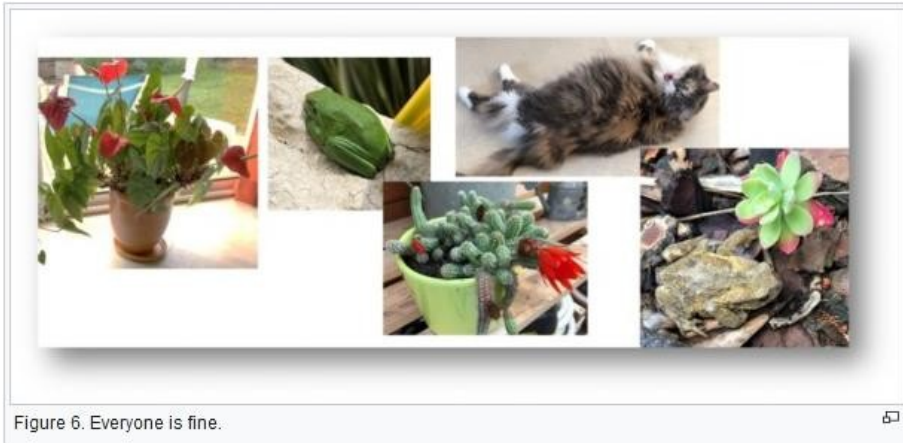


Figure 5. Extract of the comparative consumption reduction curves of the two MaGrav.

Les valeurs de la Fig. 5 sont basées sur la consommation mensuelle réelle au cours des six dernières années. Nous avons fait évaluer le rayon d'action des champs de ce nouveau MaGrav établi par un radiesthésiste reconnu : Le nouveau MaGrav a une autonomie d'environ 1500 km (100 km pour l'ancienne version). De même, nous avons fait évaluer sur le terrain l'efficacité énergétique des deux versions de MaGrav sur une échelle de 1 à 10 : 10/10 pour le nouvel appareil et 8/10 pour l'ancien. Les plantes, les animaux et les occupants de la maison sont en pleine forme ! (Fig. 6).



Déroulement des événements "inattendus" Après trois semaines de fonctionnement, l'unité MaGrav a commencé à indiquer des variations de puissance sur les contrôleurs (la consommation d'énergie en sortie est supérieure à la consommation d'énergie en entrée). Au tout début ces variations n'avaient pas une fréquence significative, de l'ordre d'une à deux fois par heure. Au fil du temps, ces fréquences augmentent très sensiblement : il y a trois semaines, j'ai signalé ce phénomène au Plasma Reactor Group. Suite à ces événements, j'ai placé une caméra qui filme en continu les contrôleurs (Fig. 7). Figure 8. Comptage des impulsions sur station. Comme je n'avais pas d'équipement de laboratoire, j'ai transféré les films sur mon poste de montage vidéo (Fig. 8) et j'ai compté la fréquence des impulsions minute par minute, ainsi que leurs amplitudes. Il y a quinze jours, j'ai présenté des graphiques réalisés avec un tableur : ils montrent très bien ces impulsions dont le nombre variait à cette époque de 8 à 13 impulsions par minute (Fig. 9). Ces derniers jours, la puissance lue sur le contrôleur côté secteur est tombée à zéro pendant quelques secondes puis est revenue à une valeur "normale", tandis que le contrôleur côté sortie MaGrav affiche la puissance consommée par la formation d'étoiles, et la fréquence des impulsions augmente . D'autre part, mon partenaire et moi faisons des tests en posant mentalement des questions fermées à notre MaGrav, de manière à ce qu'il nous réponde lors de l'utilisation d'un pendule : le pendule oscille dans un sens pour répondre et on demande au MaGrav de répondre en changeant la valeur de la puissance absorbée ou (et) celle de la puissance de sortie. Cela semble fonctionner... J'ajouterai que ces tests ont été réalisés dans différentes configurations (MaGrav uniquement, MaGrav intégré dans l'entraînement en étoile - Fig. 10), complétés par des tests sur l'ancienne version de MaGrav. Pour ce dernier, nous n'avons pas détecté de pous.



Figure 7. Video recording of controllers.



Figure 8. Counting of pulses on station.

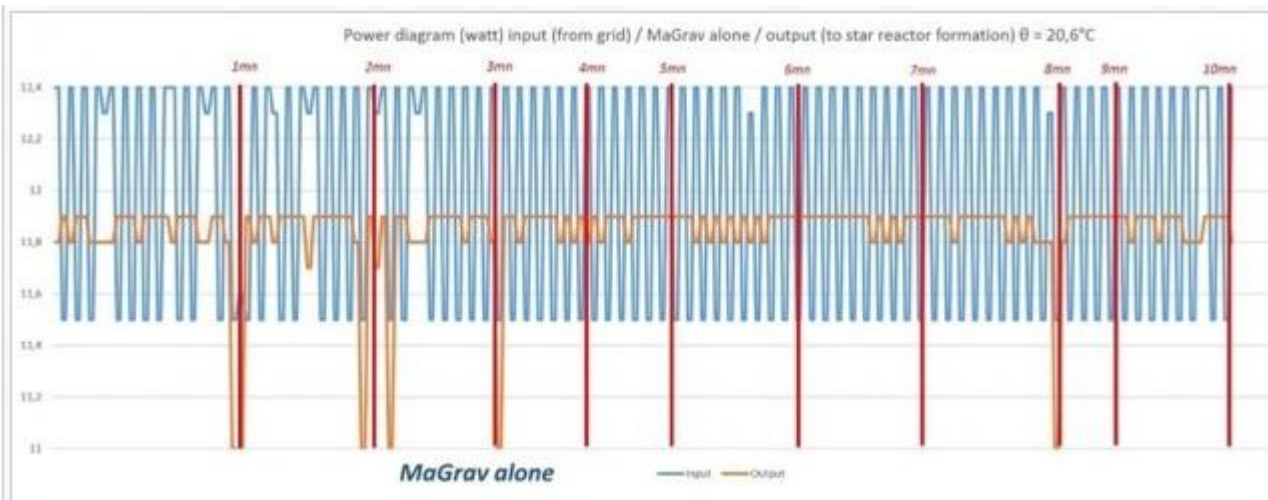


Figure 9. Ten-minute global graph.

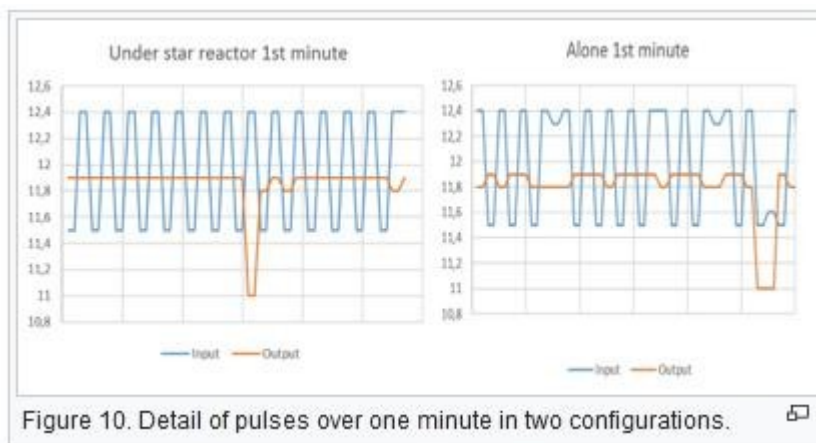


Figure 10. Detail of pulses over one minute in two configurations.

Travail futur La vision des participants au Plasma Reactor Group et plus particulièrement celles de Rick, Mario et les précieux conseils d'Armen permettent de proposer un calendrier des essais : Evolution n°2 en modifiant uniquement le GaNS CuO et CH₃ (Fig. 11), Configuration des mesures entre deux étoiles inversées (Fig. 12), Déclinaison avec la première version disque utilisant les résultats de l'étude [5] proposée dans la revue Plasma Times de février 2019.

